

Token 893 863

Decadimenti

$$a \rightarrow b + c + nx$$

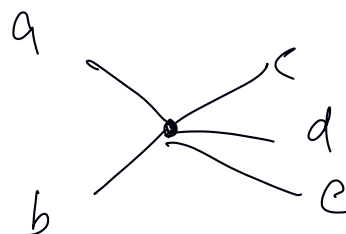
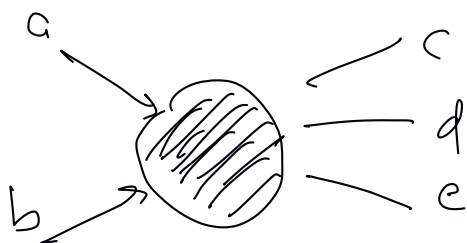
urti, scattering
diffusione

$$a + b \rightarrow a + b \quad \text{elastico}$$

$$a + b \rightarrow a + b + c$$

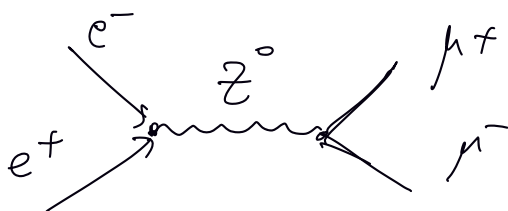
$$\rightarrow c + d + e$$

$$\rightarrow f + g$$



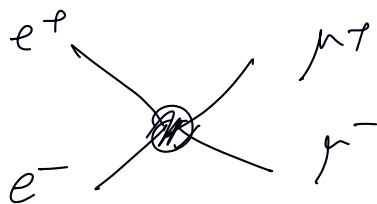
t
→

$$|i\rangle \rightarrow |f\rangle$$

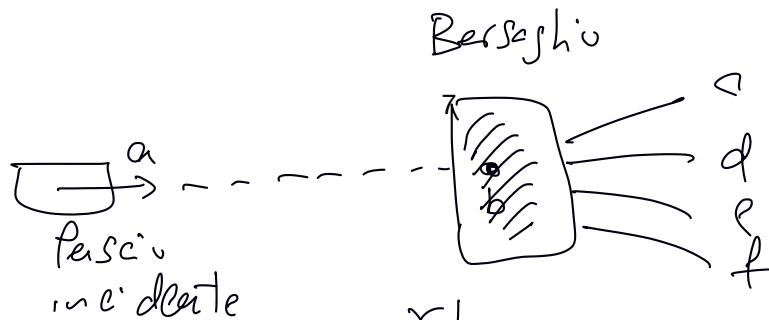


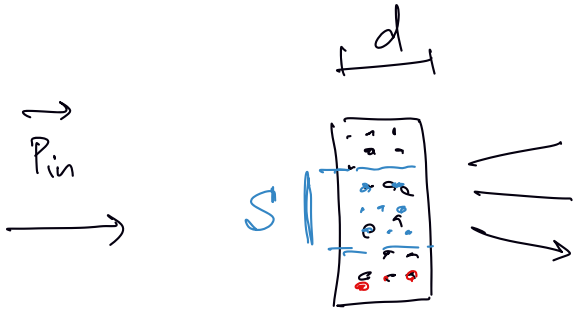
$$E = 45 \text{ GeV}$$

$$M_{Z^0} = 91 \text{ GeV}$$



urti a bersaglio fisso





$$N_B = n_b \cdot S \cdot d \Rightarrow n_b = \frac{N_B}{S \cdot d}$$

#proiettili:
 N_p

reazioni:
 N_r

n_b : densità bersagli

$$\frac{N_p}{\Delta T} =: \frac{dN_p}{dt}$$

$$\frac{N_r}{\Delta T}$$

tempo finito di esperimento/osservazione

Dim:

$$\frac{dN_r}{dt} \propto \sigma \frac{dN_p}{dt} n_b d$$

sezione d'urto

$$[\sigma] = L^2$$

prob di interazione: - non dipende dalla vicinanza tra bersagli.

- max 1 interazione tra ciascun proiett. e un bersaglio

$$\frac{dN_r}{dt} = \sigma \frac{dN_p}{dt} \frac{N_B}{S \cdot d} \cancel{d} = \sigma \frac{dN_p}{dt} \frac{1}{S} N_B$$

$$\frac{\frac{dN_r}{dt}}{\frac{dN_p}{dt}} = \frac{\sigma}{S} N_B$$

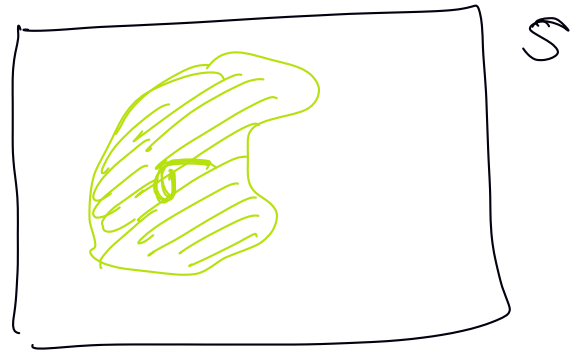
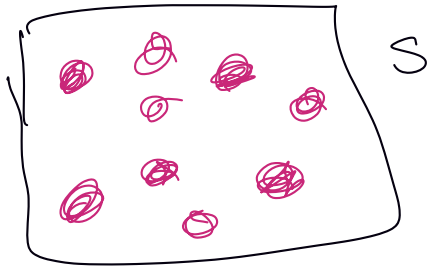
tempo finito T

$$N_p = \frac{dN_p}{dt} \cdot T$$

$$N_r = \frac{dN_r}{dt} T$$

Supponiamo $N_B = 1$

$$P(\text{creazione}) = \frac{N_r}{N_p} = \frac{\sigma}{S}$$



$$\frac{\frac{dN_r}{dt}}{dN_p/dt} \cdot \frac{1}{N_B} = \frac{\sigma}{S}$$

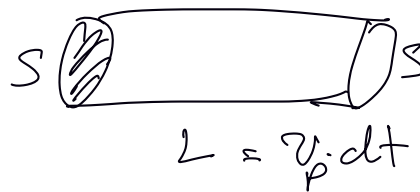
$$\frac{dN_r}{dt} = \sigma \frac{dN_p}{dt} \frac{N_B}{S}$$



$$\frac{dN_p}{dt} \frac{1}{S} = \phi_p$$

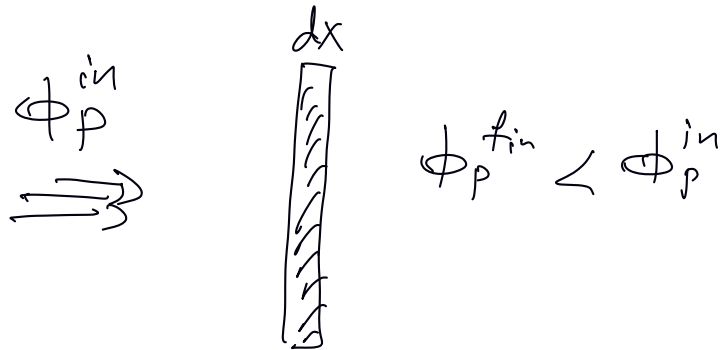
$$N_p = n_p \cdot L \cdot S$$

$$= n_p \cdot v_p \cdot dt \cdot S$$



$$\Rightarrow \phi_p = \frac{N_p}{dt \cdot S} = n_p \cdot v_p$$

$$\frac{dN_r}{dt} = \sigma \cdot n_p \cdot v_p \cdot N_B$$



$$\frac{dN_r}{dt} = \sigma \cdot \frac{dN_p}{dt} n_b(dx)$$

$$P(\text{inter}) = \frac{\frac{dN_r}{dt}}{\frac{dN_p}{dt}} = \sigma \cdot n_b \cdot dx$$

$$d\phi = - (\sigma \cdot n_b \cdot dx) \phi$$

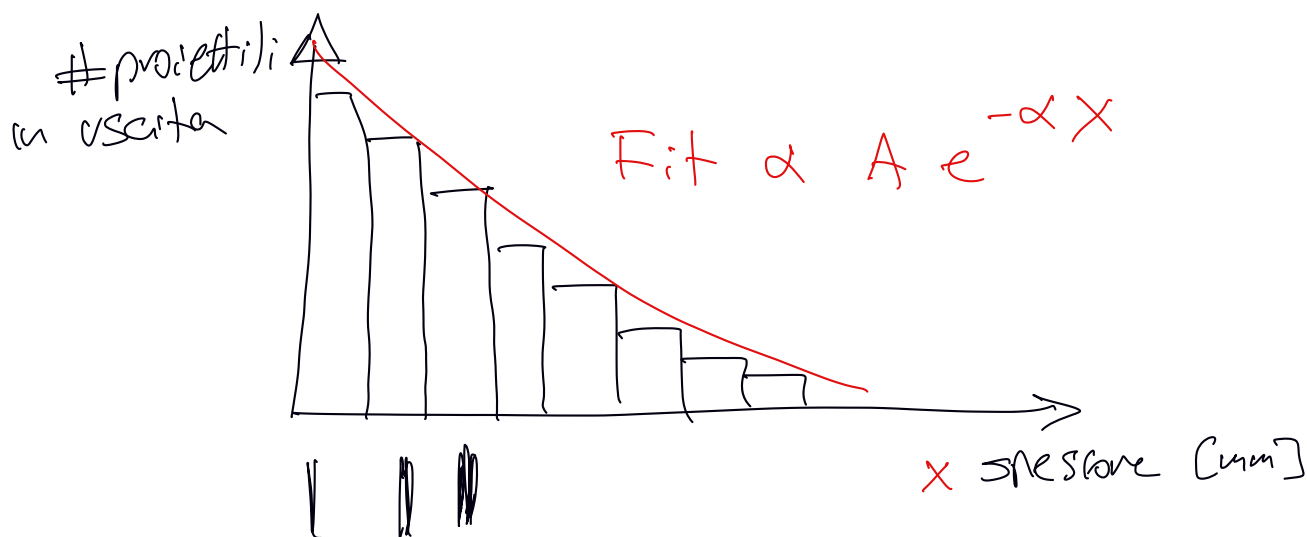
$$\phi_p = \phi_p(0) \cdot e^{-\mu x} \quad \mu = \sigma \cdot n_b$$

$[\mu] = \text{L}^{-1}$ coeff di attenuazione.

$\frac{1}{\mu} = \lambda$ lunghezza di attenuazione.

$$\lambda = \frac{1}{\sigma \cdot n_b}$$

sperimenti con dx variabile.



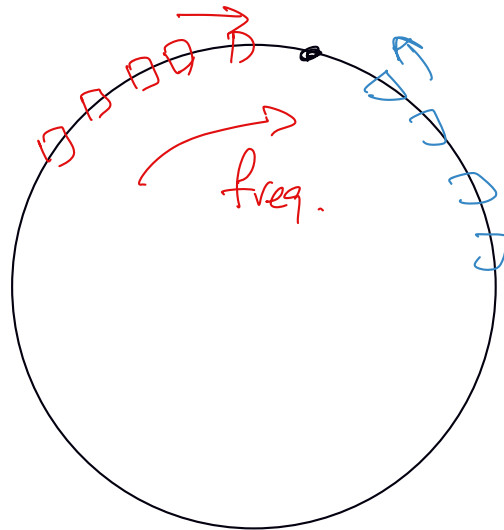
$$\alpha_{\text{mis}} = \sigma \cdot n_b.$$

$$\alpha \pm \delta\alpha$$

n_b note \Rightarrow misce di σ

$$1 \text{ barn} = 10^{-28} \text{ m}^2 = 10^{-24} \text{ cm}^2$$

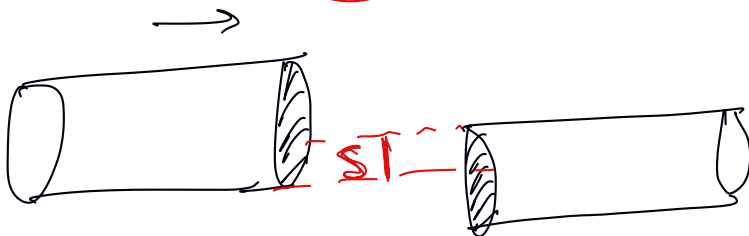
$$1 n_b = 10^{-9} \text{ b}$$



$$\frac{dN_r}{dt} = \sigma \left(\frac{dN_p}{dt} \cdot \frac{N_B}{S} \right) = \sigma \Phi_p \cdot N_B = \sigma n_p \cdot v_p \cdot N_B$$

$$\Phi_p = \frac{dN_p}{dt \cdot S} = \frac{N_p}{S} f \quad \hookrightarrow \text{freq. di collisione.}$$

$$\frac{dN_r}{dt} = \sigma \frac{N_p \cdot f}{S} N_B$$



non ottimale.

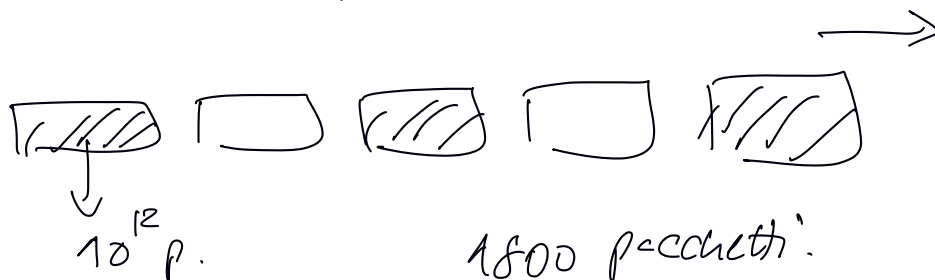


$$\frac{dN_r}{dt} = \sigma \frac{N_p N_B}{s} f$$

$$\text{LHC: } f = 40 \text{ MHz}$$

$$1 \text{ int. opus } 25 \text{ ns}$$

$$\text{@ LHC: } N_p = 10^{12} \text{ p/bunch.}$$



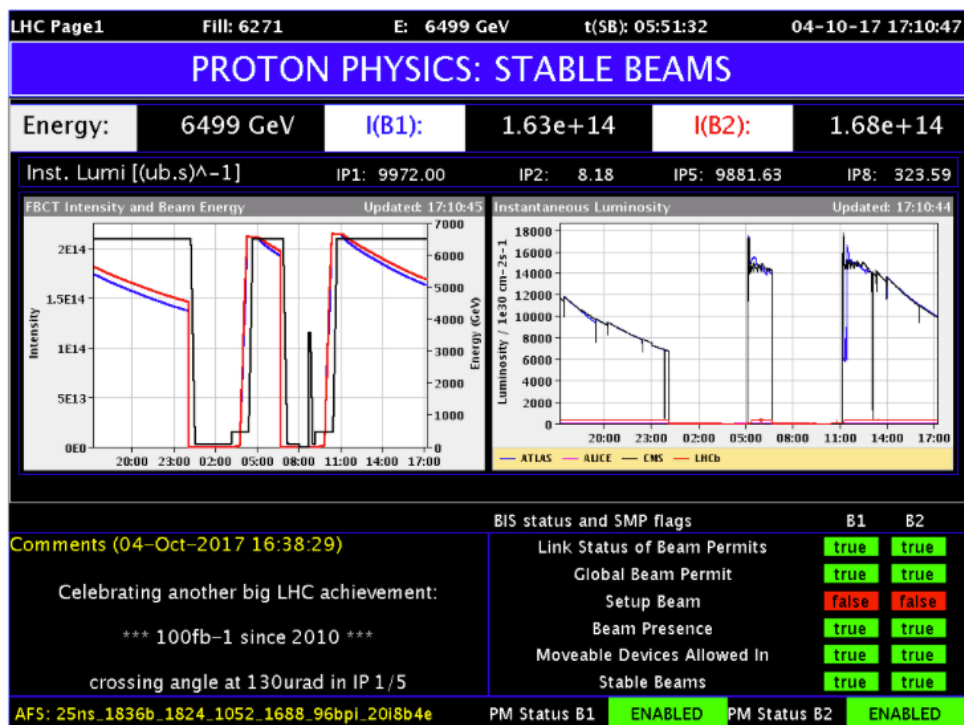
$$N_p = \# \text{ p-clocks} \times \frac{\# \text{ protons}}{\text{p-clocks}}$$

$$\frac{dN_r}{dt} = \sigma \cdot L_{\text{inst}}$$

luminosité is fonction.

$$T^{-1} \quad L^2 \quad L^{-2} T^{-1}$$

$$N_r \stackrel{?}{=} \sigma \cdot L_{\text{inst}} \cdot \Delta T$$



$$L_{\text{tot}} = \int_{\Delta T} L_{\text{int}} \cdot dt$$

$$N_r = \sigma \cdot \int L \cdot dt = \sigma \cdot L_{\text{int}}$$

$$[L_{\text{int}}] = L^{-2}$$

$$\begin{aligned} 100 \text{ fb}^{-1} &= 10^2 (10^{-15} \text{ b})^{-1} = 10^2 10^{15} \text{ b}^{-1} \\ &= 10^{17} \text{ b}^{-1} \end{aligned}$$

processo con $\sigma = 1 \text{ b}$

$$N_r = 10^{17} \text{ b}^{-1} \times \underbrace{1 \text{ b}}_{\sigma} = 10^{17}$$

$$\text{Spettro disco} = 10^{17} \times 10^6 \text{ B} = 10^{23} \text{ B}$$